el was positively correlated with the levels of hemoglobin, ferrum and zinc ($P<0.05$) but had no correlation with feritin level. Serum vitamin A level was positively correlated with the birth weight of the neonates and the weight of the placenta, These findings suggest that vitamin A plays an important role in ferrum metabolism and the growth and development of the fetus. It is suggested that clinicians should pay attention to the study of vitamin A since it is important for the health of both mothers and babies, for the timely therapeutic intervention of subclinical vitamin A deficiency, and for the improvement of birth quality and child upbringing.

Key words infant, newborn; vitamin A/AN; iron/ME

慢性肝胆管囊性增生症一例

孙文兵 顾红光 余枢成 闫晓初* （第三军医大学西南医院肝胆外科中心）630038

病例：男性，56 岁，住院号 185697。主诉右上腹隐痛不适一月余，家族中无类似病史，查体无阳性体征发现，各项化验检查均在正常范围。B 超提示肝脏右后叶占位性病变，考虑为血管瘤，CT 提示肝脏右后叶多囊状不规则病灶，考虑肝内胆管局限性囊性扩张症合并肝胆管结石可能性大，胆管囊腺癌待排除（图 1）。术中探查见肝脏Ⅵ、Ⅶ段内一 5cm×6cm×6cm 大小之包块，边界清楚，质地较硬，与下腔静脉及右肾上腺毗邻。术中诊断肝血管瘤可能性大，囊腺癌待排除，决定行Ⅵ、Ⅶ肝段切除术，完整切除包块，术后恢复顺利，随访半年效果良好。病理报告：大体见肝组织内一 5cm×6cm×6cm 大小之圆形包块，边界清楚，质地较硬；镜下见包块为胆管慢性增生所致，部分区域可见胆管壁变性，呈囊状扩张，胆管内偶见结石形成（图 2、图 3）。

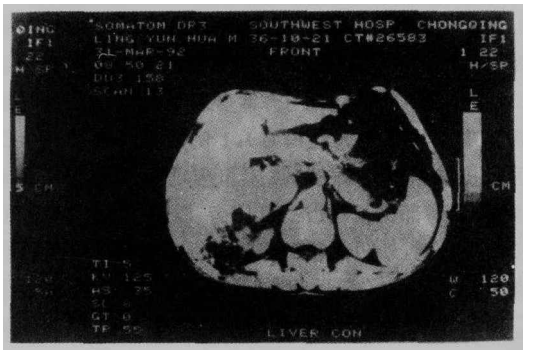


图 1 Ⅵ、Ⅶ段肝脏胆管囊性增生 CT 表现

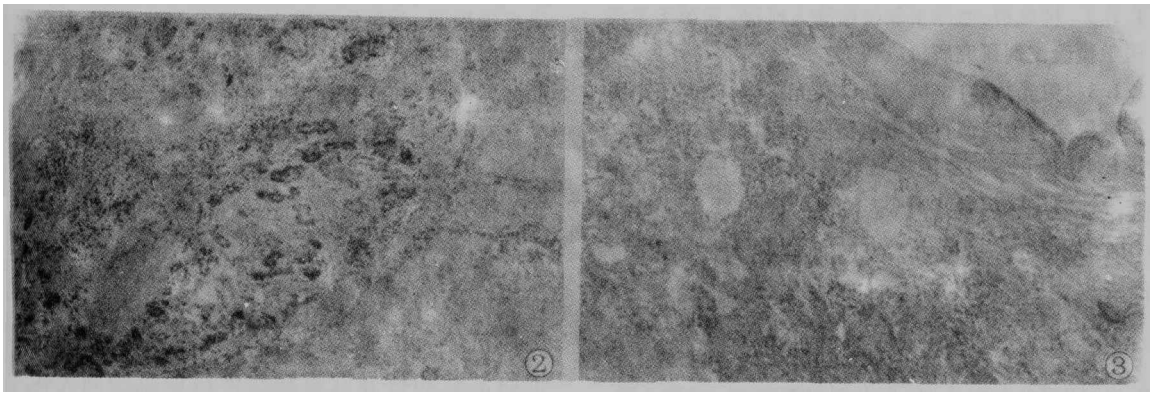


图 2 胆管慢性增生、边界清楚。 HE×40

图 3 胆管壁变性，呈囊性扩张。 HE×

（下转 87 页）

* 病理科

?1994-2015 China Academic Journal Electronic Publishing House. All rights reserved. http://www.cnki.net

47.0%，其中一例在治疗过程中门静脉一2.7cm×1.4cm 的癌栓完全消失。2 例肺癌和 2 例转移性肺癌治疗后肿瘤无明显变化，一例胃癌癌性腹水治疗后腹水大部消失，腹围由治疗前的 82cm 缩小至 75cm，一例皮肤恶性淋巴瘤治疗后皮损消退 50%以上。LPAK 细胞的主要副作用（实际包含 IL-2 的副作用）有：短暂发热（39℃左右）、寒战、腹痛、纳差、体液潴留等，不经处理或对症处理后上述症状可消失。

关键词 LPAK 细胞（Lymphokine and PHA Activated killer cell）；重组人白细胞介素 2；肿瘤；免疫功能；过继免疫治疗

生殖器疣与癌 HPV、癌基因及凝集素受体的研究

刘元林　刘荣卿*　陈鸿书*　（第三军医大学西南医院皮肤科）630038

人乳头瘤病毒（HPV）生殖道感染主要引起生殖器疣（尖锐湿疣），为目前最常见的性传播性病毒性疾病。大多数学者认为自生殖器疣经各级非典型增生到原位癌和浸润癌为 HPV 感染相关疾病谱。本研究拟应用组织病理分析、免疫组化、斑点杂交及聚合酶链式反应（PCR）等技术，对生殖器疣、阴茎内表皮内瘤Ⅱ级（$PIN_{Ⅱ}$）/宫颈表皮内瘤Ⅱ级（$CIN_{Ⅱ}$）和阴茎癌/宫颈癌组织中 HPV 检测和型别鉴定、癌基因表达及凝集素受体分布进行了研究。

结果：一种新建立的总引物介导的 PCR 技术可用来检测多种 HPV 基因型别。HPVDNA 片段的检出率：生殖器疣 98%（98/100）、$PIN_{Ⅱ}$ 83.3%（10/12）、$CIN_{Ⅱ}$ 80%（12/15）、阴茎癌 80%（16/20）及宫颈癌 90%（27/30）。其中，$HPV_{6,11}$ 从 95%（93/98）的生殖器疣中检出，而生殖器癌中 HPV_{16} 伴同率为 88.3%（38/43）. C-Ha-ras 和 c-myc 癌基因在 $PIN_{Ⅱ}$（ras：50%、myc：40%）/$CIN_{Ⅱ}$（60%、50%）及阴茎癌（75%、70%）/宫颈癌（74%、70%）较生殖器疣（12%、16%）显著增强表达（$P<0.05$）。P_{21} 蛋白在 $PIN_{Ⅱ}$/$CIN_{Ⅱ}$ 与生殖器疣表达强度间无重叠。我们应用生物素—抗生物素—酶标技术对 BSL、DBA、LCA、PNA 及 UEA_1 在生殖器疣癌变过程中定位发现，PNA 和 UEA_1 受体在正常表皮阴性、$PIN_{Ⅱ}$/$CIN_{Ⅱ}$ 中等强度阳性及生殖器癌中强阳性。另外，随着细胞异型性增加，BSL 受体表达增强，DBA 反而减少，LCA 变化不显著。

上述结果提示：（1）PCR 技术系检测疑为 HPV 病因的非典型增生和癌中 HPV 病原的有效方法；（2）$HPV_{-6,-11}$ 和 HPV_{16} 分别为本地区生殖器良、恶性病变中之 HPV 流行型别；（3）组织病理分析，结合 P_{21} 蛋白检测能更好地筛选 $PIN_{Ⅱ}$/$CIN_{Ⅱ}$；（4）PNA 和 UEA_1 可能被用来做为区分生殖器疣和癌的探针，其典型的染色形式可能提示表皮内瘤Ⅱ级和恶性病变。

关键词 人乳头瘤病毒；生殖器疣；聚合酶链式反应；癌基因；凝集素受体

（上接 49 页）

讨论

本例所描述的病症是一种罕见的肝胆管增生性疾病，文献及教科书中未见描述，也未见类似于本例临床特点和病理改变的病例报道。从临床角度出发，我们暂将该病症称之为慢性肝胆管囊性增生症，以便与同仁商讨。

慢性肝胆管囊性增生症不同于肝内胆管囊性扩张症（Caroli 氏病），前者临床症状隐袭，无腹痛、发热等胆管炎症状、病灶局限，边界清楚，镜下以毛细胆管增生为主，部分区域有胆管壁变性，呈囊性扩张，偶有结石形成。

慢性肝胆管囊性增生症的临床诊断应与其它肝脏占位性病变相鉴别。临床和 B 超均将本例误诊为肝血管瘤，CT 作了比较正确的描述性诊断。特征性的临床特点及影像学征象尚待进一步临床观察，外科手术适应征以及疾病的发生和转归亦有待于进一步研究。

关键词 胆管疾病；增生

（收稿：1992-06-29；修回：1992-10-15）

* 指导者

?1994-2015 China Academic Journal Electronic Publishing House. All rights reserved. http://www.cnki.net